

修士論文概要書

2010 年 2 月提出

専攻名 (専門分野)	情報理工学専攻	氏名	橋本 識弘	指導 教員	戸川 望 印
研究指導名	情報システム設計研究	学籍番号	5108B100 CD - 4	教員	
研究 題目	部分マッチングを考慮し MISO(Multiple Input, Single Output) 構造に対応した プロセッシングユニット最適化手法に関する研究				

1 はじめに

近年、アプリケーションに特化した専用プロセッサの需要が伸びており、携帯端末や車載システムなどにおいて利用されている。専用プロセッサは汎用プロセッサと比較して小面積であり、特定のアプリケーションに対して高性能かつ低消費電力であるという利点がある。

我々が構築中であるプロセッサ合成システム SPADES(System for Processor Architecture Design with Estimation - type SIMD) は、アプリケーションと実行時間制約を与えることで、プロセッサを自動合成できる。また、専用演算器であるプロセッシングユニット(以降 PU と呼ぶ)の付加を考慮している。

プロセッサに付加される専用演算器の生成に際し、満たすべき要件が大きく 2 つ挙げられる。1 つはアプリケーションに柔軟に対応するために、専用演算器が MISO(Multiple Input, Single Output) 構造を持っていることである。MISO 構造の専用演算器の例を図 1(a) に示す。もう 1 つは専用演算器がより多く使用されるために、専用演算器の構成とアプリケーションの CDFG のサブグラフが部分的に一致している場合(以降、部分マッチングと呼ぶ)にも専用演算器で実行させることである。例えば図 1 において、(a) に示した専用演算器と (b) に示した DFG のマッチングを行う場合、点線で囲った演算ノードが (c) のように専用演算器で実行される。専用演算器内の不要な演算に対して演算をさせないことで、必要な出力結果を得ることができる。

しかし、これまでに専用演算器が満たすべき 2 つの要件の両方を満たした手法が提案されていなかった。

そこで、本論文では、部分マッチングを考慮した MISO 構造を持つ専用演算器の合成手法を提案する。SPADES を用いて、提案手法により PU を生成した。

2 提案手法

PU の最適化問題について、以下のように定義する。

PU 最適化問題 アプリケーションの CDFG、プロセッサの構成情報、実行時間制約 T_c が与えられたとき、アプリケーションの実行時間 T_{app} が $T_{app} \leq T_c$ を満たす PU の構成を出力する。PU の面積 A_{pu} の最小化を目的とする。

提案手法は、大きく生成系と再構成系に分かれる。生成系において、PU の面積を考慮せずに T_{app} が最小となる PU の構成を得る。再構成系にて PU の粒度を小さくしていき、 T_c に違反したら、違反する前の PU の構成を解として出力する。生成系は、複数の演算から PU を 1 個生成するクラスタリング、アプリケーションに対して新しく生成された PU を割付けるバインディング、生成された PU の内部構造に対してパイプラインレジスタを割付ける PU 内パイプライン化および CDFG

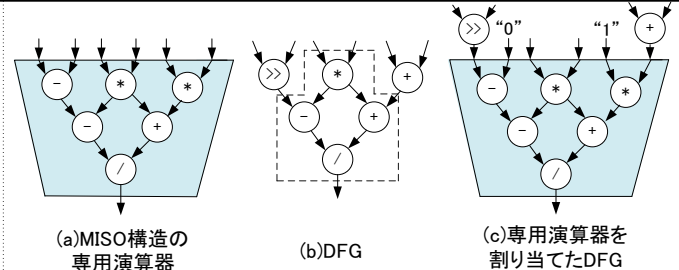


図 1: 部分マッチング。

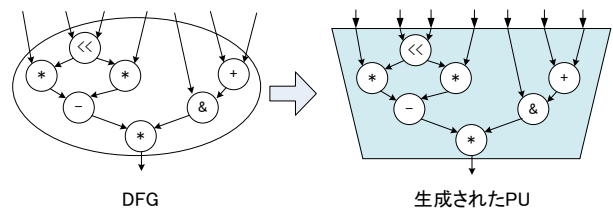


図 2: クラスタリングの様子。

に対してステップ数の計算およびレジスタを割付けるスケジューリングにより成り立つ。再構成系は、現在生成されている PU を削除し、より粒度の小さい PU を生成するリクラスタリング、削除された PU が割付けられている CDFG 内の演算ノードに対してバインディングを解除し、新たに生成された PU を割付けるリバインディング、PU 内パイプライン化およびスケジューリングにより成り立つ。

2.1 生成系

クラスタリング

クラスタリングでは、アプリケーションの CDFG から、複数の演算ノードをまとめて実行する PU を生成する。PU 内部のグラフ構造は MISO 構造をとり、根のノードからのみ演算結果を出力する。クラスタリングの様子を図 2 に示す。

バインディング

バインディングでは、MISO 構造の PU とアプリケーションの CDFG を入力として、PU が割付けられた CDFG を出力する。まず、バインディングのマッチングタイプを定義する。マッチングタイプは、PU と CDFG のサブグラフの構成が同じである完全マッチングと、構成が部分的に一致している部分マッチングに分けられる。図 2 で生成された PU と完全マッチングしている DFG のサブグラフを図 3 に示す。また、部分マッチングしている DFG のサブグラフを図 4 に示す。図 4 では、乗算ノード以外は PU と DFG のサブグラフの構成が一致しているので、加算ノードの片方に定数 0 を入力することで、PU で実行できる。

バインディングの様子を図 5 に示す。斜線で囲まれたノード集合が、PU で実行される。

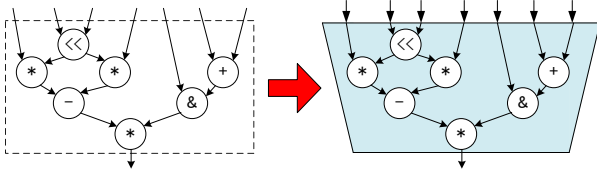


図 3: 完全マッチングの例 .

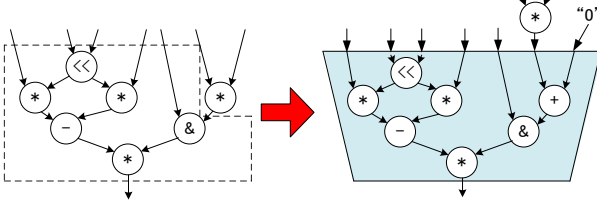


図 4: 部分マッチングの例 .

PU 内パイプライン化

PU 内部にパイプラインレジスタを挿入し、PU のクリティカルパスを分割する．各演算を最小モジュールに分割することで、演算ノード単位ではなく最小モジュール単位でパイプライン化を行い、PU のクリティカルパスを分割する．パイプライン化された PU を図 6 に示す．

スケジューリング

アプリケーションの CDFG に対しリストスケジューリングを行い、PU を CDFG に割付けた場合のアプリケーションの実行にかかるコントロールステップ数を得る．また、汎用レジスタを割付ける．

2.2 再構成系

再構成系の構成要素の内、PU 内パイプライン化とスケジューリングは生成系と同じである．

リクラスタリング

リクラスタリングでは、現在生成されている PU を削除する．そして、削除された PU のノード梱包数から 1 引いた値を次に生成する PU のノード梱包数の上限とし、クラスタリング条件に追加する．その後、クラスタリングを行う．

リバインディング

リバインディングでは、アプリケーションの CDFG の中で削除された PU が割付けられているノードに対して、バインディングを解除し元の CDFG に戻す．その後、新たに生成された PU のバインディングを行う．

3 実験

入力アプリケーションとしてアルファブレンドを与えた場合において、MISO 構造で部分マッチングを考慮した場合、MISO 構造で部分マッチングを考慮しない場合、木構造で部分マッチングを考慮した場合でそれぞれ PU を 1 個生成し、PU の面積およびアプリケーションの実行時間を比較した．実験では特に実行時間制約を与えず、生成系で MISO 構造の場合はノード梱包数 6、木構造の場合はノード梱包数 5 の PU を生成した．それより粒度の小さい PU に関しては、再構成系で生成した．ノード梱包数 n 、PU の面積 A_{pu} 、アプリケーション実行時間 T_{app} 、実行時間削減率 $\left(\frac{T_b - T_a}{T_a}\right)$

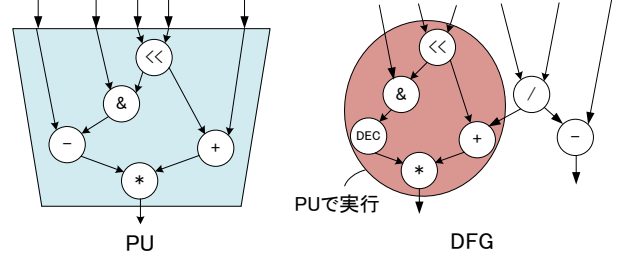


図 5: バインディングの様子 .

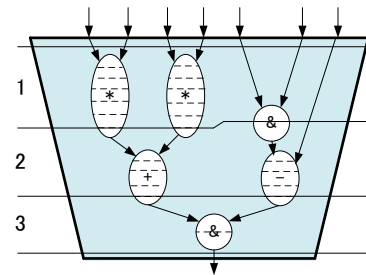


図 6: パイプライン化された PU .

(T_a : PU 付加前のアプリケーション実行時間, T_b : PU 付加後のアプリケーション実行時間) を表 1 に示す．

提案手法では、最大 29.4% の実行時間削減率を達成した．また、MISO 構造で部分マッチングを考慮しなかった場合 (15.8%)、木構造で部分マッチングを考慮した場合 (10%) と比較して、実行時間削減率がそれぞれ 86%、194% 改善された．

4 おわりに

本論文では、部分マッチングを考慮し MISO 構造に対応した PU 最適化手法を提案した．提案手法で生成した PU を付加することで、アプリケーション実行時間が最大 29.4% 削減された．

表 1: 実験結果 .

n	MISO/ 部分マッチング			MISO/ 部分マッチング ×		
	A_{pu} [μm^2]	T_{app} [ms]	T_e (%)	A_{pu} [μm^2]	T_{app} [ms]	T_e (%)
6	24401	6.27	29.4	24401	7.00	15.8
5	24345	6.64	22.2	24345	7.37	10.0
4	24289	7.00	15.8	24289	7.37	10.0
3	24232	7.74	4.8	24232	7.37	10.0
2	12144	7.74	4.8	12144	7.74	4.8

tree/部分マッチング			
n	A_{pu} [μm^2]	T_{app} [ms]	T_e (%)
6	-	-	-
5	12313	7.37	10
4	12257	7.74	4.8
3	13400	7.74	4.8
2	113	7.74	4.8